Figure S4. Multiple alignment of GH23 motif sequences.

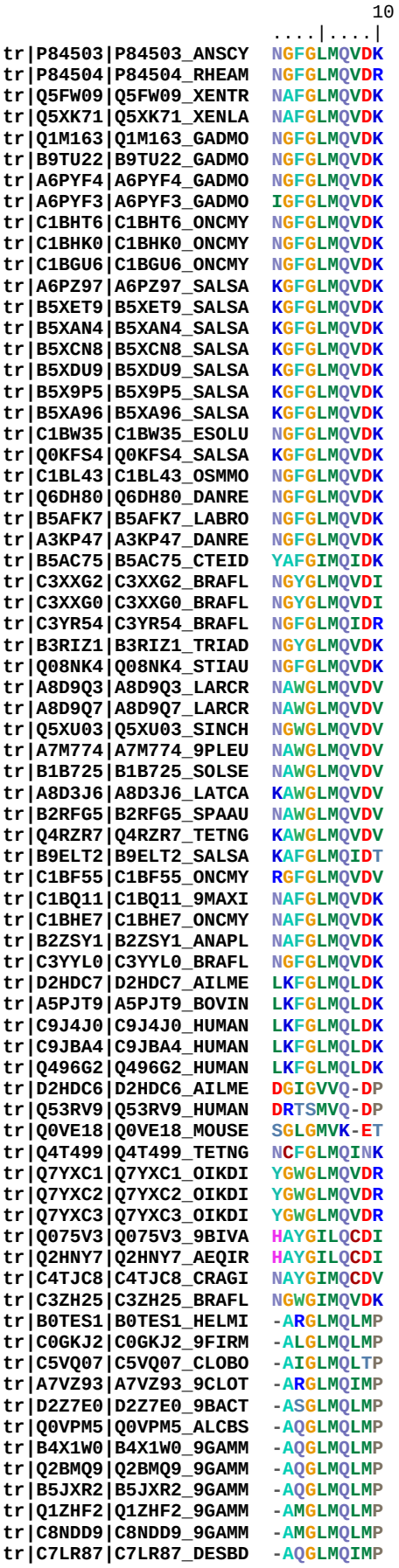

```
tr|B8DI65|B8DI65_LISMH  -ATGLMQLMA
tr|Q92DT7|Q92DT7_LISIN  -ATGLMQLMY
tr|Q722I0|Q722I0_LISMF  -ATGLMQLMY
tr|C1L0Z8|C1L0Z8_LISMC  -ATGLMQLMY
tr|C8K7E6|C8K7E6_LISMO  -ATGLMQLMY
tr|Q4ELS3|Q4ELS3_LISMO  -ATGLMQLMY
tr|Q4EU87|Q4EU87_LISMO  -ATGLMQLMY
tr|D2PAV5|D2PAV5_LISMO  -ATGLMQLMY
tr|D2NZI0|D2NZI0_LISMO  -ATGLMQLMY
tr|C8K9V3|C8K9V3_LISMO  -ATGLMQLMY
tr|C8JY83|C8JY83_LISMO  -ATGLMQLMY
tr|Q8Y925|Q8Y925_LISMO  -ATGLMQLMY
tr|Q8GMY2|Q8GMY2_LISMO  -ATGLMQLMY
tr|A0AGH2|A0AGH2_LISW6  -ATGLMQLMY
tr|O64046|O64046_BPSPC  -AMGLMQLMP
tr|B1HNX9|B1HNX9_LYSSC  -AQGLMQLMP
tr|A3IFZ4|A3IFZ4_9BACI  -AQGLMQLMP
tr|Q9K900|Q9K900_BACHD  -ASGLMQLMP
tr|Q3AF19|Q3AF19_CARHZ  -AMGLMQLMP
tr|C8W6G7|C8W6G7_DESAS  -ALGLTQLMP
tr|C0QET8|C0QET8_DESAH  -VRGLMQVTT
tr|B8FJF4|B8FJF4_DESAA  -VKGLMQITR
tr|B3QU47|B3QU47_CHLT3  -AKGLMQVVP
tr|Q11RC3|Q11RC3_CYTH3  -ACGLMQVMP
tr|Q7NWF6|Q7NWF6_CHRVO  -ASGLMQLMP
tr|C0Z4A8|C0Z4A8_BREBN  -ARGLLQIMP
tr|A7BWV5|A7BWV5_9GAMM  YGRGLMQIDY
tr|Q7VF48|Q7VF48_HELHP  -AYGLMQVVP
tr|C9PJB4|C9PJB4_VIBFU  -AFGLMQIVP
tr|A6D3Q2|A6D3Q2_9VIBR  -AVGIMQVLP
tr|Q1INF2|Q1INF2_ACIBL  HGVGLVQIDI
```